

Исследование термоэдс  $\alpha$  (рис. 2) показало, что в образце с  $x=0.14$  на температурной зависимости  $\alpha(T)$  обнаруживается особенность. Рассчитана диффузионная часть термоэдс; показано, что в образце с  $x=0.14$  имеет место эффект увлечения дырок фононами; обнаружено, что фононная доля термоэдс начинает проявляться с 25 К, при ~7 К проходит через максимум. Совпадение максимумом  $\alpha$  и  $\alpha_{\text{фон}}$  по температурной шкале говорит в пользу того, что в исследованном образце  $\text{Cd}_x\text{Hg}_{1-x}\text{Te}$  ( $x=0.14$ ) до температуры граничного рассеяния в переносе тепла, как и в эффекте увлечения, участвуют длинноволновые фононы, т. е. имеет место активное рассеяние коротковолновых фононов на точечных дефектах. Отсутствие эф-

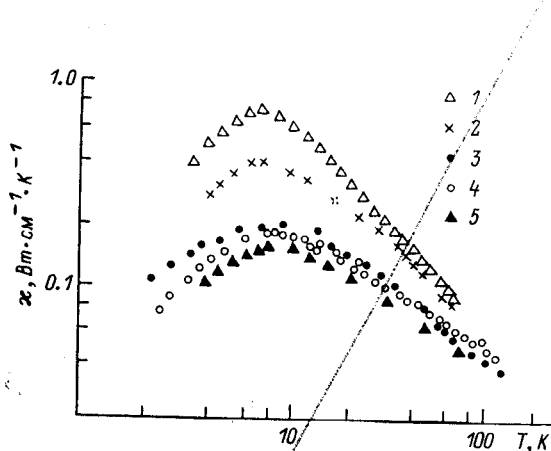


Рис. 1. Температурная зависимость теплопроводности в твердых растворах  $\text{Cd}_x\text{Hg}_{1-x}\text{Te}$ .  
x: 1 — 0, 2 — 0.05, 3 — 0.1, 4 — 0.14, 5 — 0.2.

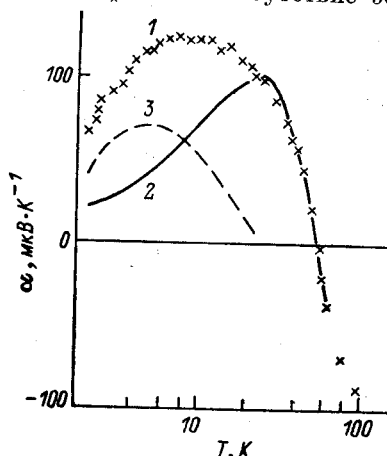


Рис. 2. Температурная зависимость термоэдс в  $\text{Cd}_{0.14}\text{Hg}_{0.86}\text{Te}$ .  
1 — эксперимент, 2 — расчетная диффузионная термоэдс, 3 — термоэф-  
фект увлечения.

Факта увлечения в других образцах, возможно, связано с тем, что они обладали  $n$ -типа проводимости с чрезвычайно высоким значением подвижности электронов.

#### Л и т е р а т у р а

- [1] Тамарин П. В., Косарев В. В., Ивлев В. С. // ФТТ. 1971. т. 13, № 6. С. 1814—1818.  
Институт физики АН АзССР  
Баку

Поступило в Редакцию  
9 июня 1988 г.  
В окончательной редакции  
30 сентября 1988 г.

УДК 539.143.43

*Физика твердого тела, том 31, в. 2, 1989*  
*Solid State Physics, vol. 31, № 2, 1989*

#### ФОРМА СИГНАЛА СОЛИД-ЭХА В ЯМР ТВЕРДОГО ТЕЛА

H. A. Сергеев, A. B. Сапига, D. C. Рябушкин

В настоящее время расчет формы сигнала двухимпульсного эха в ЯМР твердого тела из-за многочастичного характера задачи проводится главным образом в виде степенного ряда по  $t$  и  $\tau$  ( $\tau$  — временной интервал между

импульсами,  $t$  — текущее время после второго импульса) [1-5]. Медленная сходимость такого ряда позволяет удовлетворительно описать форму сигнала эха только при малых  $\tau$  и вблизи его максимума.

В данной работе предлагается простой метод получения аналитического выражения для формы сигнала двухимпульсного эха и, в частности, солид-эха, в основу которого положен формализм Мори [6], успешно использовавшийся ранее для расчета формы спада свободной прецессии (ССП) [7-9].

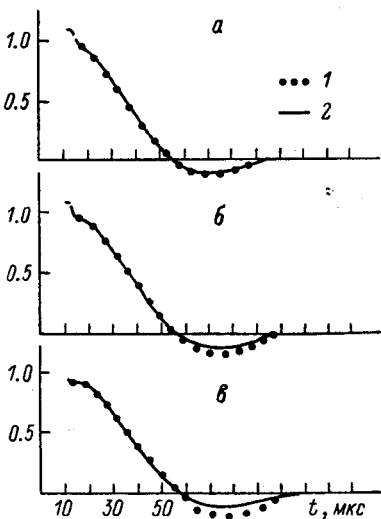
Сигнал двухимпульсного эха ( $90^\circ - \tau - R - \tau$ ) определяется выражением [1]

$$V(\tau, t) = \langle I_x(t) | R I_x(\tau) R^{-1} \rangle / \langle I_x | I_x \rangle, \quad (1) \quad 0.5 -$$

где  $R$  — оператор, описывающий действие второго радиочастотного импульса.

$$|I_x(t)\rangle = e^{itL} |I_x\rangle, \quad (2)$$

$L = [\mathcal{H}, \dots]$  — супероператор Лиувилля  $[7, 10]$ ,  $\mathcal{H}$  — гамильтониан взаимодействия ядерной спиновой системы. Внутреннее произведение двух произвольных лиувиллевских векторов  $|A\rangle$  и  $|B\rangle$  определяется как  $[6, 7, 10]$ .



Теоретические (1) и экспериментальные (2) сигналы солид-эха в монокристалле  $\text{CaF}_2$ .  $\mathbf{H}_0 \parallel [111]$ ,  $\tau = 10$  (1), 15 (2), 20 мкс (3).

$$\langle A | B \rangle = \text{Sp}(A^+B) = \langle B | A \rangle^*. \quad (3)$$

Если ввести ортогональный набор векторов  $|k\rangle$  ( $|0\rangle = |I_x\rangle$ ) [7]

$$|k\rangle = \left(1 - \sum_{m=0}^{k-1} \frac{|\langle m | m \rangle|}{\langle m | m \rangle}\right) L^k |I_x\rangle$$

то вектор состояния  $|I_x(t)\rangle$  может быть представлен в виде [7]

$$|I_x(t)\rangle = \sum_{k=0}^{\infty} G_k(t) |k\rangle. \quad (4)$$

Функции  $G_k(t)$  удовлетворяют следующей системе уравнений [7]:

Здесь  $v_0^2 = \langle k+1 | k+1 \rangle / \langle k | k \rangle$  — величины, выражающиеся через моменты  $M_n$  спектра поглощения ЯМР, и, в частности,  $v_0^2 = M_2$ ,  $v_1^2 = (M_4 - M_2^2) / M_2$  [7]. В (4) и (5) функция  $G_0(t)$  описывает форму ССП. Подставляя (4) в (1), получим

$$V(\tau, t) = \sum_{k,l=0}^{\infty} G_k(t) G_l(\tau) \frac{\langle k | l \rangle}{\langle 0 | 0 \rangle} \quad (6)$$

где  $|l\rangle = R |l\rangle R^{-1}$ .

Для сигнала солид-эха  $R = \exp(-i\pi I_x/2)$ , и прямое вычисление начальных коэффициентов  $\langle k | l \rangle / \langle 0 | 0 \rangle$  для гамильтониана диполь-

дипольного взаимодействия приводит к следующему выражению для сигнала эха в гомоядерных спиновых системах:

$$V(\tau, t) = G_0(\tau) G_0(t) + \frac{1}{M_2} \frac{dG_0}{d\tau} \frac{dG_0}{dt} + \dots \quad (7)$$

Функции  $G_k(t)$ ,  $k \geq 0$  при малых  $t$  ведут себя как  $t^k$ . Поэтому следует ожидать, что при малых  $t$  и  $\tau$  для описания формы сигнала солид-эха можно ограничиться лишь несколькими первыми членами ряда (6).

Справедливость полученных выражений (6) и (7) нетрудно проверить на примере изолированной двухспиновой системы ( $I_1=I_2=1/2$ ), для которой  $G_0(t)=\cos(bt)$  ( $b^2=M_2^2$ ,  $M_2^2$  — второй момент спектра ЯМР двухспиновой системы) [1, 11]. Подставляя  $G_0(t)$  в (7), получим хорошо известный результат  $V(\tau, t)=\cos[b(t-\tau)]$  [11]. Учество межмолекулярное диполь-дипольное взаимодействие между парами можно феноменологически, если взять  $G_0(t)$  в виде

$$G_0(t) = \exp(-M_2^2 t^2/2) \cos(bt), \quad (8)$$

где  $M_2^2$  — межмолекулярный вклад в полный второй момент. Подставляя (8) в (7), получим для амплитуды сигнала солид-эха  $V(2\tau)$  (с точностью до членов  $\sim \tau^6$ )

$$V(2\tau) \simeq \exp(-M_2^2 \tau^2) [1 + \tau^2 M_2^2 \cos^2(bt)], \quad (9)$$

что полностью совпадает с результатом, полученным в [12].

Выражение (7) было использовано нами для анализа особенностей формирования солид-эха в твердых телах, не имеющих выделенных спиновых групп. В этом случае, как показано в [8, 13], форма ССП хорошо описывается функцией

$$G_0(t) = J_1(2\sqrt{m_2}t)/\sqrt{m_2}t, \quad (10)$$

где  $J_1(x)$  — функция Бесселя первого порядка. Используя (10) и (7), мы построили зависимости сигнала солид-эха от  $\tau$  для монокристалла  $\text{CaF}_2$  (см. рисунок). Там же приведены экспериментальные результаты. Из сравнения теоретических и экспериментальных кривых следует, что при  $\tau < 20$  мкс первые два члена ряда (7) хорошо описывают форму сигнала солид-эха и, в частности, интересную особенность поведения максимума сигнала эха: при увеличении  $\tau$  максимум эха сдвигается от точки  $t=\tau$  в сторону меньших времен.

#### Л и т е р а т у р а

- [1] Mansfield P. // Progr. NMR Spectr. 1971. V. 8. N 4. P. 41—101.
- [2] Powles J. G., Strange J. H. // Proc. Phys. Soc. 1963. V. 82. N 4. P. 6—15.
- [3] Mansfield P. // Phys. Rev. 1965. V. 137. N 3. P. A961—A974.
- [4] Moskovich Yu. N., Sergeev N. A., Dotsenko G. I. // Phys. St. Sol. (a). 1975. V. 30. N 1. P. 409—417.
- [5] Рябушкин Д. С., Сергеев Н. А. // Изв. вузов, физика. 1984. Т. 12. С. 3—6.
- [6] Mori H. // Progr. Theor. Phys. 1965. V. 34. P. 399—410.
- [7] Lado F., Memory J. D., Parker G. // Phys. Rev. 1971. V. B4. N 5. P. 1406—1422.
- [8] Engelsberg M., Lowe I. J. // Phys. Rev. 1975. V. 12. N 9. P. 3547—3552.
- [9] Сергеев Н. А., Рябушкин Д. С., Сапига А. В. Радиоспектроскопия. Пермь, 1987. С. 236.
- [10] Абрагам А., Гольдман М. Ядерный магнетизм: порядок и беспорядок. М., 1984. Т. 1. Гл. 1.
- [11] Powles J. G., Mansfield P. // Phys. Lett. 1962. V. 2. N 2. P. 58—59.
- [12] Кучеров М. М., Блюменфельд А. Л. // ФТТ. 1976. V. 18. № 9. P. 2838—2840.
- [13] Bolotov B. M., Aksenov D. A., Polyakov A. I., Senshin S. P. // Phys. St. Sol. (b). 1987. V. 139. N 1. P. K137—K140.

Симферопольский государственный  
университет им. М. В. Фрунзе  
Симферополь

Поступило в Редакцию  
7 июня 1988 г.  
В окончательной редакции  
5 октября 1988 г.